

# 钴 - 原卟啉对大鼠脑损伤区域血红素氧合酶 -1 及损伤周边区脑含水量的影响

张志峰<sup>1</sup> 刘绍明<sup>2△</sup> 修彬华<sup>2</sup> 田刚<sup>2</sup> 张德峰<sup>2</sup>

(1 石河子大学医学院 新疆 石河子 832002 2 兰州军区乌鲁木齐总医院神经外科 新疆 乌鲁木齐 830000)

**摘要** 目的 :研究探讨钴 - 原卟啉对大鼠脑损伤的保护作用。方法 :用钴 - 原卟啉灌(50mg/kg)胃处理后 建立液压脑损伤模型 采用免疫组织化学 SP 三步法检测大鼠脑损伤区域血红素氧合酶 -1(HO-1)的表达情况 ,用干湿重法测定损伤周边区脑含水量的变化。结果 :正常组、假手术组大鼠 HO-1 均无表达 模型组脑损伤区域的 HO-1 阳性细胞数为(3.45± 0.47) ;实验组 12h、24h、3d 和 7d HO-1 的阳性细胞数分别为 (10.9± 1.35)、(10.62± 1.88)、(12.4± 1.57)和(10.99± 2.42)。正常组、假手术组脑损伤周边区脑含水量分别为 (78.7± 0.4)%和 (78.6± 0.7)% ;模型组脑含水量 (89.3± 0.3)% ;实验组 12h、24h、3d 和 7d 脑含水量分别为 (83.1± 0.3%)、(83.6± 0.6%)、(83.9± 0.4)%和(83.2± 0.3)%。结论 :钴 - 原卟啉(CoPP)能够诱导大鼠脑损伤区域 HO-1 的表达 ,减轻脑损伤周边区域的水肿程度 ,故钴 - 原卟啉对大鼠脑损伤具有保护作用。

**关键词** :脑损伤 血红素氧合酶 -1 钴 - 原卟啉 脑含水量

中图分类号 Q95-33 R651.1+5 文献标识码 A 文章编号 :1673-6273(2012)23-4429-04

## An Effect of Cobalt Protoporphyrin on Heme Oxygenase-1 of Brain Injuries Zone and Brain Contents of Injury Ambitus Zone in Rats

ZHANG Zhi-feng<sup>1</sup>, LIU Shao-ming<sup>2△</sup>, XIU Bin-hua<sup>2</sup>, TIAN Gang<sup>2</sup>, ZHANG De-feng<sup>2</sup>

(1 Medical college of Shihezi University, Shihezi, Xinjiang, 832002;

2 Department of Neurosurgery, Urumqi General Hospital, Lanzhou Command, PLA, Urumqi, Xinjiang, 830000, China)

**ABSTRACT Objective:** To investigate the protective effect of cobalt protoporphyrin on brain injuries in Rats. **Methods:** We built hydraumatic brain injuries model after intragastric administration of 50 mg/kg cobalt protoporphyrin. We checked out expression of heme oxygenase-1 of brain injuries zone in Rats with immunohistochemistry SP three-step method, and detected changes of brain water content of brain injury ambitus zone with dry-wet weight regulation. **Results:** Normal group and sham operation group had no expression of HO-1. HO-1 positive cell count was (3.45± 0.47) in model group, and (10.9± 1.35), (10.62± 1.88), (12.4± 1.57) and (10.99± 2.42) at 12 h, 24 h, 3 d and 7 d in experimental group respectively. Brain water content were respectively (78.7± 0.4)% and (78.6± 0.7)% in normal group and sham operation group, and was (89.3± 0.3)% in model group, and respectively(83.1± 0.3%),(83.6± 0.6%),(83.9± 0.4)% and (83.2± 0.3)% in experimental group at 12 h, 24 h, 3 d and 7 d. **Conclusions:** Cobalt protoporphyrin can induce the expression of HO-1 of brain injuries zone in rats, and alleviate brain edema of injury ambitus zone. Thus, cobalt protoporphyrin plays a protective role in hydraumatic brain injuries in rats.

**Key words:** Brain injuries; Heme oxygenase-1; Cobalt protoporphyrin; Brain water content

Chinese Library Classification (CLC): Q95-33 R651.1+5 Document code: A

Article ID:1673-6273(2012)23-4429-04

### 前言

目前对脑损伤的非手术治疗措施主要包括甘露醇等药物控制颅内压、亚低温和高压氧治疗 ,但这些都不能完全满足外伤非手术治疗的需要。脑损伤后继发脑出血进一步加重了脑水肿等损伤 ,增加了病人的死亡率和致残率。研究表明 红细胞对继发性脑水肿的形成起着决定性的作用<sup>[1,2]</sup>。体外研究发现 将

神经元暴露于血红蛋白可造成神经元死亡 ,从而证实了血红蛋白对神经元的毒性作用<sup>[3]</sup>。血红素氧合酶 -1(HO-1)催化血红素生成胆绿素、铁和 CO。HO-1 被各种物理因素和化学因素所诱导。在许多组织 ,钴 - 原卟啉就是一种强有力的 HO-1 诱导剂<sup>[4,5]</sup>。本实验应用液压损伤装置造成 SD 大鼠脑损伤模型 ,通过免疫组织化学方法测定损伤部位 HO-1 的表达 ,同时测定了损伤周边区域脑含水量的情况 ,研究了钴 - 原卟啉对 HO-1 的诱导作用。

### 1 材料与方法

#### 1.1 实验动物分组及试剂

健康雄性 SD 大鼠 42 只 ,体重 300~350g ,参照统计学随机

作者简介 张志峰(1983-) ,男 ,硕士研究生 ,研究方向:脑损伤及脑保护。Tel:15276821273 E-mail:zzfmqh@163.com  
 △通讯作者 刘绍明,博士,主任医师,硕士生导师 ,研究方向:脑损伤及脑保护研究。Tel:13809947663. E-mail:sarstone@yahoo.com  
 (收稿日期 2012-02-23 接受日期 2012-03-20)

数字表将大鼠随机分为正常组、假手术组、模型组和实验组。正常组(n=6):正常喂养,不做处理;假手术组(n=6):头部钻孔,但不予以液压打击;模型组(n=6):头部打孔,给予液压打击,造成脑损伤模型;实验组(n=24):实验组又随机分为12h、24h、3d、7d四个亚组,每亚组SD大鼠6只。实验组用液压装置造成脑损伤模型前,用钴-原卟啉连续灌胃5天,每天早晚各一次,每只每次50mg/kg体重。大鼠由乌鲁木齐疾病控制中心提供。钴-原卟啉购于美国Sigma公司,HO-1试剂盒、PBS缓冲液、DAB显色剂均购于北京博奥森公司。

## 1.2 方法

1.2.1 SD大鼠脑损伤模型的建立 将实验大鼠称重后,以2%的戊巴比妥钠(40mg/kg体重)经腹腔注射麻醉,待大鼠失去自动活动能力后将大鼠俯卧位头部固定于立体定位仪上。剪去头顶部皮毛,碘伏酒精消毒皮肤,于正中线切开头皮约4cm,分离皮下肌肉组织及骨膜,暴露冠状缝和人字缝及其间的顶骨。用立体定位仪在左侧顶部矢状缝旁3.5mm,冠状缝后4.0mm处标记定位,在手术显微镜下,用颅骨电钻行颅骨钻孔,磨出一直径约5mm的圆形骨窗,并保持硬脑膜完整(如图1所示)。将圆形骨孔与液压损伤装置相连接,造成脑损伤模型。

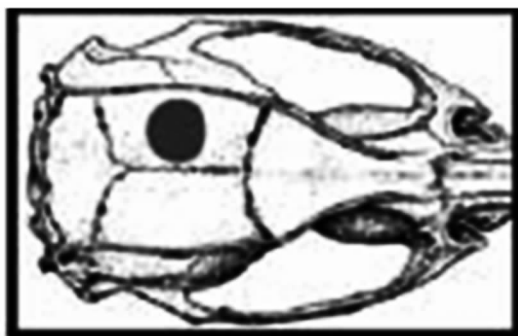


图1 侧位液压打击示意图

Fig.1 Lateral position hydraumatic strike schematic diagram

1.2.2 组织学研究 在大鼠脑损伤后,在设定的时间点,经心脏灌流4%多聚甲醛,取出大脑,损伤区域标本用石蜡包埋、切片处理,进行HO-1免疫组织化学染色。

1.2.3 免疫组化染色 采用SP三步法。基本步骤:石蜡切片,常规脱蜡至水。抗原修复,3%H<sub>2</sub>O<sub>2</sub>去离子水孵育5min,用PBS液冲洗3次,滴加封闭用正常山羊血清工作液,室温孵育10min,倾去。滴加一抗(兔抗-HO-1,1:500,美国ZYME公司),40℃孵育过夜(12h),PBS液冲洗3次,滴加生物素化二抗工作液(IgG/Bio),室温孵育15min,PBS冲洗3次。滴加辣根酶标记链霉卵白素工作液(S-A/HRP),室温孵育15min,PBS冲洗3次。加DAB显色剂显色,光镜下观察显色后,立即自来水冲洗,复染,脱水,透明,封片。

1.2.4 免疫组织化学染色结果判断 细胞浆和细胞膜染成棕黄色为阳性,着色定位准确视为阳性结果,其阳性细胞表达个数进行半定量分析。每张切片随机选取10个高倍镜视野,计数细胞数,然后取其平均数进行统计学分析。

1.2.5 脑含水量测定 取损伤周围区域脑组织(200±50)mg,在分析天平上称湿重,随之将标本放置于1100C烘箱连续烘干72h至恒重,称干重,脑含水量=(湿重-干重)/湿重X%。

1.2.6 统计学方法 使用SPSS17.0软件包,组间比较采用SNK-q检验,实验数据均以均数±标准差( $\bar{x} \pm s$ ),以P<0.05为有统计学意义。

## 2 结果

### 2.1 SD大鼠脑损伤区域HO-1的表达

正常组和假手术组HO-1均无表达。模型组HO-1的表达量为3.45±0.47。实验组12h、24h、3d和7d的表达量分别为10.9±1.35、10.62±1.88、12.4±1.57和10.99±2.42。模型组分别与实验组12h、24h、3d和7d比较,HO-1的表达差异具有显著性(P<0.05表1)。

表1 实验组、正常组、假手术组和模型组HO-1阳性细胞数

Table 1 The number of HO-1 positive cells in experimental group, normal group, sham operation group and model group

Groups	N	Positive cells ( $\bar{x} \pm s$ )
Nomal group	6	—
Sham operation group	6	—
Model group	6	3.45±0.47
12h group	6	10.9±1.35*
24h group	6	10.62±1.88*
3d group	6	12.4±1.57*
7d group	6	10.99±2.42*

注:正常组、假手术组无HO-1表达,实验组各组(12h、24h、3d和7d)与模型组相比,\*P<0.05。

Note: There is no expression of HO-1 in Nomal group and Sham operation group. Experimental group (12 h, 24 h, 3 d and 7 d) were compared with Model group, \*P<0.05.

## 2.2 SD大鼠损伤周边区域脑含水量的变化

正常组、假手术组和模型组的脑含水量分别为(78.7±0.4%)、(78.6±0.7%)和(89.3±0.8%);实验组12h、24h、3d和7

d的脑含水量分别为(83.1±0.3%)、(83.6±0.6%)、(83.9±0.4%)和(83.2±0.3%)。实验组各组分别与模型组比较,脑含水量的差异性具有显著性(P<0.05表2)。模型组分别与正常组和

表 2 实验组、正常组、假手术组和模型组脑含水量的变化( $\bar{x} \pm s$ )Table 2 Changes of brain water content in Experimental group, Nomal group, Sham operation group and Model group ( $\bar{x} \pm s$ )

Groups	N	脑含水量(%)
Nomal group	6	78.7± 0.4*
Sham operation group	6	78.6± 0.7*
Model group	6	89.3± 0.8
12h group	6	83.1± 0.3**
24h group	6	83.6± 0.6**
3d group	6	83.9± 0.4**
7d group	6	83.2± 0.3**

注:正常组、假手术组分别与模型组比较 \*P&lt;0.05;实验组(12h、24h、3d 和 7d)各组分别与模型组比较 \*\*P&lt;0.05。

Notes: Model group was compared with Nomal group and Sham operation group, \*P&lt;0.05. Experimental group (12h, 24h, 3d and 7d) were compared with Model group, \*\*P&lt;0.05.

假手术组比较 脑含水量的差异具有显著性(P&lt;0.05 表 2)。

### 3 讨论

本实验用钴 - 原卟啉灌胃后 ,采用了液压损伤装置造成脑损伤模型 ,应用免疫组织化学的方法测定损伤区域 HO-1 的表达 ,应用干湿重法测定了损伤周边区域脑含水量的变化。结果显示 ,正常组、假手术组 HO-1 无表达 ,模型组、12 h、24 h、3 d 和 7 d 组 HO-1 均有表达。模型组分别与 12 h、24 h、3 d 和 7 d 组比较 ,HO-1 的表达有显著性差异 (P<0.05) ;脑含水量的变化 :模型组分别与正常组、假手术组比较 ,含水量有显著性差异 (P<0.05); 模型组分别与 12 h、24 h、3 d 和 7 d 组比较 ,脑含水量有显著性差异 (P<0.05)。

HO-1 是血红素分解代谢的限速酶<sup>[6-9]</sup>。它催化血红素生成胆绿素、Fe<sup>2+</sup> 和 CO。HO-1 具有细胞保护、氧化应激、抗炎和免疫调节的特性<sup>[10-12]</sup>。组织损伤、热休克、缺氧、氧化因子、血红素、金属卟啉等因素都可以诱导 HO-1 的表达。有研究表明 ,金属卟啉化合物可以上调小鸡 HO-1 启动子的活性 ,尤其是血红素和钴 - 原卟啉<sup>[13]</sup>。钴化合物现在已经被应用于实验室动物和人类疾病的治疗。无机钴被用于刺激红细胞的生成 ,从而可以治疗与肾疾病有关的贫血。另外 ,钴 - 原卟啉可以影响细胞色素 P-450 的新陈代谢 ,从而可以影响实验动物的内分泌状态和体重的增加。在众多系统中 ,血红素和钴 - 原卟啉都是 HO-1 活性的有效诱导剂<sup>[14-17]</sup>。钴 - 原卟啉并非血红素氧化酶 -1 底物 ,也不能催化分解细胞内的活性氧类物质 ,但它是迄今为止被证明是 HO-1 活性最有效的金属卟啉诱导剂。它的诱导作用主要通过非应激途径发生。应用血红素催化 HO-1 的活性 ,随着血红素的分解代谢 ,它的有效催化浓度逐渐降低 ,可能不足以激活 HO-1 的活性调节位点。钴 - 原卟啉不能够被 HO-1 分解代谢 ,它能够扩散且保持到 HO-1 高活性结合位点 ,因此其催化活性不能被减弱。至此 ,在不增加氧化应激的前提下 ,钴 - 原卟啉上调 HO-1 的作用比血红素似乎更有前途。相对于其他金属卟啉化合物(如 CrMP、ZnMP、SnMP 和 SnPP) ,CoPP 的作用似乎更强 ,其他这些金属卟啉化合物均抑制 HO-1 的活性 ,其中一些遇光容易被分解(如 SnMP 和 SnPP)。YingShan 等<sup>[18]</sup>肝细胞瘤细胞体外培养研究发现 ,0.5 μM CoPP 最低有效浓度使肝细胞

瘤细胞 HO-1 mRNA 量显著提高了 3.5 倍 ;用 10 μM-25 μM-CoPP 处理 4 小时 ,HO-1 mRNA 的表达被上调了 35-40 倍 ;当 CoPP 的浓度 >25 μM 时 ,肝细胞瘤细胞 HO-1 的表达反而降低 此时 ,CoPP 已经引起了细胞毒性。Helena Parfenova 等<sup>[19]</sup>发现 ,CoPP 在体内外均可影响大脑微循环 HO-1 的表达和活性。在脑微血管的细胞培养过程中 ,加入 10-50 μM CoPP 作用 17-24 h ,HO-1 的表达明显增加 ,并且呈剂量依赖性 ,HO-2 的表达并不增加。同时 ,CoPP 并不能诱导 iNOS 或 COX2 的表达 ,表明 CoPP 选择性的作用于 HO-1 的表达。另外 ,他们还发现 ,给予新生小猪 50 mg/kg 的 CoPP ,24 h 内脑组织和脑微血管的 HO-1 的表达明显增加 ,但 HO-2 的表达并不增加。Angelo A . Chora 等<sup>[20]</sup>在自身免疫神经炎症研究发现 ,CoPP 能够诱导实验性自身免疫性脑脊髓炎小鼠中枢神经系统 HO-1 的表达从而发挥脑保护作用 ;然而在 HO-1/- 的小鼠应用 CoPP 并不能发挥脑保护作用。我们的实验研究发现 ,正常组和假手术组用免疫组织化学方法未检测到 HO-1 的表达 ,模型组和实验组可以观察到 HO-1 的表达 ,这说明在液压脑损伤后 ,损伤区域有 HO-1 的表达 ,实验组 12 h、24 h、3 d 和 7 d 分别与模型组相比 ,差异具有显著性 (P<0.05) ,证实了在脑损伤过程中 CoPP 能够诱导 HO-1 的表达 ,但是其具体的分子诱导机制还有待于进一步研究。对于损伤周边区域脑含水量的情况 ,实验组各组与模型组相比亦具有显著性 (P<0.05) ,这可能是由于 CoPP 诱导了 HO-1 的增加 ,有效的抑制了氧化应激和血脑屏障的破坏 ,从而减轻了脑细胞水肿。本实验证明了 CoPP 可以诱导脑损伤区域 HO-1 的表达 ,同时可以减轻脑损伤周边区域脑水肿程度。

### 参考文献(References)

- Wagner KR, Sharp FR. Heme and iron metabolism:role in cere-bral hemorrhage[J].J Cerebral Blood Flow Metab,2003,23(6):629-652
- Maines MD. The heme oxygenase system and its functions in the brain [J]. Cell Mol Biol,2000,46:573-585
- Pluta RM. Delayed cerebral vasospasm and nitric oxide:review,new hypothesis, and proposed treated [J]. Pharmacol Ther,2005,105 (1): 23-56
- Shan,Y., Pepe,J. Upstream regulatory elements in chick heme oxygenase-1 promoter: a study in primary cultures of chick embryo live cells

- [J]. Mol.Cell Biochem,2000,209:17-27
- [5] Shan,Y., Pepe,J. Induction of heme oxygenase-1 reporter gene constructs by metalloporphyrins in cultured cells [J]. Hepatology, 1999,30,512A
- [6] Jung-Woo Bae, Mi-Jeong Kim. Protective effects of heme oxygenase-1 against MPP<sup>+</sup>-induced cytotoxicity in PC-12 cells [J]. Neurol Sci,2010,31:307-313
- [7] Cuadrado A, Rojo AI. Heme oxygenase-1 as a therapeutic target in neurodegenerative diseases and brain infections [J]. Curr Pharm Des, 2008,14:429-442
- [8] AnneR. kinderlerer, Isabel Pombo Gregoire. Heme oxygenase-1 expression enhances vascular endothelial resistance to complement-mediated injury through induction of decay-accelerating factor:a role for increased bilirubin and ferritin[J]. Blood,2009,113(7):1598-1607
- [9] Hill-Kapturczak, Chang. Heme oxygenase and the kidney [J]. DN A Cell Biol,2002,21:307-321
- [10] Elbirt, K. K., Bonkovsky. Heme oxygenase:recent advances in understanding its regulation and role [J]. Proc. Assoc. Am. Physicians, 1999,111:438-447
- [11] Bonkovsky, Elbirt, K.K. Heme oxygenase:its regulation and role [J]. World Scientific,River Edge,NJ,USA,2002:690-706
- [12] Dore S, Ferris CD. Bilirubin,formed by activation of heme oxygenase-2,protects neurons against oxidative stress injury[J]. Proc Natl Acad Sci USA,2009,96:2445-2450
- [13] Shan.Y, Pepe.J. Mapping of the chick heme oxygenase-1 promoter for responsiveness to metalloporphyrin[J]. Arch.Biochem. Biophys,2002,399:159-166
- [14] Abraham, N.G. Differential effect of cobalt protoporphyrin on distributions of heme oxygenase in renal structure and on blood pressure in SHR[J].Cell Mol.Bio.(Noisy-le-grand),2002,48:895-902
- [15] Fu, S.H. Cobalt-protoporphyrin treatment enhances murine islets engraftment[J]. Transplant.Pron,2004,36:2205-2206
- [16] Glanemann. M, Schirmeire. Cobalt proporphyrin induce heme oxygenase overexpression and its impact on liver regeneration [J]. Transplant.proc,2005,37:3223-3225
- [17] Hsu, B. R. A single-dose of cobalt-protoporphyrin protects islet Beta cells from glucocorticoid suppression [J]. Transplant. Proc,2005,37: 1826-1827
- [18] Ying shan, Richard W. Lambrecht, et al. Role of Bach1 and Nrf2 in up-regulation of the heme oxygenase-1 gene by cobalt protoporphyrin [J]. The FASEB Journal,2006,20:2258-2267
- [19] Helena Parfenova, Pierluigi Carratu. Epileptic seizure cause extended postictal cerebral vascular dysfunction that is prevented by HO-1 overexpression[J]. Heart,2005,288(6):2843-2850
- [20] Angelo A. Chora, Paulo Fontoura. Heme oxygenase-1 and carbon monoxide suppress autoimmune neuroinflammation[J]. The Journal of Clinical Investigation,2007,117(2):438-447

(上接第 4418 页)

- [8] 李建武 ,肖能庆 ,于瑞元等.生物化学实验原理和方法[M].北京大学出版社 2004,174-176  
Li Jian-wu, Xiao Neng-qing, Yu Rui-yuan, et al. The principle and method of biochemistry experiment [M]. Beijing University Press, 2004, 174-176
- [9] 秦大鹏.高淀粉玉米籽粒淀粉机理的生理生化机制[D].山东农业大学硕士论文 2008,19-20  
Qin Da-peng. Physiological and biochemical mechanisms of starch accumulation in high-starch maize [D]. Shandong Agricultural University Master Thesis,2008,19-20
- [10] 国家药典委员会 ,中国药典 (一部) [S]. 中国医药科技出版社 , 2010:附录 52  
Chinese Pharmacopeia Commission. Pharmacopeia of People's Republic of China (vol.1) [S], China Medical Science Press,2010: appendix 52
- [11] 国家药典委员会 ,中国药典(一部) [S]. 中国医药科技出版社 , 2010 :附录 53  
Chinese Pharmacopeia Commission. Pharmacopeia of People's Republic of China (vol.1) [S], China Medical Science Press,2010: appendix 53
- [12] 李合生.植物生理生化实验原理和技术[M]. 高等教育出版社,2000 :225-227  
Li He-sheng. Experimental principles and techniques of plant physiology and biochemistry [M]. Higher Education Press,2000: 225-227

- [13] Wang LZ, Xu CZ, Qu ML, et al. Kernel amino acid composition and protein content of introgression lines from Zea mays ssp. mexicana into cultivated maize[J]. J Cereal Sci,2008,48:387-393
- [14] Wallace JC, Lope MA, Paiva E, et al. New methods for extraction and quantitation of zeins reveal a high content of  $\gamma$ -zein in modified opaque-2 maize[J]. Plant Physiol,1990,92: 191-196
- [15] 分子克隆实验指南[M].(第三版) 萨姆布鲁克. 科学出版社, 2008, 1713-1720  
Molecular Cloning :A laboratory manual on the WEB [M]. (Third Edition). SAMBROOK J. Science Press,2008,1713-1720
- [16] Qin F, Li J, Li X, et al. AFLP and RFLP linkage map in Coix [J]. Genet Resour Crop Ev,2005,52:209-214
- [17] Ma K, Kim K, Dixit A, et al. Assessment of genetic diversity and relationships among Coix lacryma-jobi accessions using microsatellite markers[J]. Biol Plantarum,2010,54(2): 272-278
- [18] Zhou L, Huang B, Meng X, et al. The amplification and evolution of orthologous 22-kDa  $\alpha$ -prolamins tandemly arrayed genes in coix, sorghum and maize genomes[J]. Plant Mol Biol,2010,74: 631-643
- [19] Fifueira TRS, Serrano GCM, Arruds P. Evolution of the genes encoding seed storage proteins in Sugarcane and maize [J]. Tropical Plant Biol,2008,1:108-119
- [20] Ottoboni LMM, Leite A, Targon MLN, et al. Characterization of the storage protein in seed of Coix-lacryma-jobi var. Adlay[J]. J Agricult Food Chem,1990,38:631-635